

<논 문>

임의의 균열표면 하중을 받는 복합재 중앙균열의 응력세기계수

이강용* · 박문복* · 김성호**

(1994년 6월 28일 접수)

**Stress Intensity Factors for an Interlaminar Crack in Composites
under Arbitrary Crack Surface Loadings**

Kang Yong Lee, Moon Bok Park and Sung Ho Kim

Key Words : Stress Intensity Factor(응력세기계수), Center Crack(중앙균열), Arbitrary Loading(임의의 하중), Dual Integral Equations(쌍적분방정식), Composites(복합재)

Abstract

A model is constructed to evaluate the stress intensity factors(SIFs) for composites with an interlaminar crack subjected to an arbitrary crack surface loading. A mixed boundary value problem is formulated by Fourier integral transform method and a Fredholm integral equation of the second kind is derived. The integral equation is solved numerically and the mode I and II SIFs are evaluated for various shear modulus ratios between each layer, crack length to layer thickness, each term of crack surface polynomial loading and the number of layers. The mode I and II SIFs for the E-glass/epoxy composites as well as the hybrid composites are also evaluated.

I. 서 론

복합재에서 발생하는 균열은 크게 접합 경계면에 평행 또는 수직한 방향으로 존재하는 균열로 구분할 수 있으며, 균열거동을 선형 파괴역학 관점에서 연구하기 위해서는 응력세기계수의 산출이 필수적이다.

접합면에 수평방향으로 존재하는 균열에 관한 연구로써, Hilton과 Sih⁽¹⁾는 2개의 반무한체에 접착된 이종탄성층 내부의 중앙균열면에 단순인장하중이 작용하는 경우에 대하여 적분변환법을 적용하여 Fredholm 적분방정식을 유도하였으며, 모드 I 응력세기계수를 산출하였다. Delale and Erdogan⁽²⁾은 2개의 반무한체 사이에 접착된 비균질 접합층의

중앙균열면에 단순인장하중이 작용하는 경우에 대하여 적분변환법을 이용하여 Cauchy 특이적분방정식을 유도하였으며, 이로부터 모드 I 응력세기계수를 산출하였다. 또한, 김성호^(3,4) 등은 2개의 반무한체에 접착된 5개의 탄성층 내부 중앙균열면에 단순인장 및 전단하중이 작용하는 경우에 대하여 적분변환법을 이용하여 Fredholm 적분방정식을 유도하였으며, 모드 I, II 응력세기계수를 산출하였다. 복잡한 형태의 하중이 작용한 경우의 연구로써, Isida^(5,6)는 유한 및 무한체 중앙균열면에 멱급수 인장하중이 작용하는 경우에 대하여 각각 Laurent 복소응력장 전개법(expansion of complex stress potential)을 이용하여 응력세기계수를 산출하였다. Chen과 Chang⁽⁷⁾은 무한체 내부에 존재하는 다수의 경사균열면에 멱급수 인장 및 전단 하중이 작용하는 경우에 대하여 응력 및 변위성분을 산출하였으며, FEAM(finite element alternating

*회원, 연세대학교 기계공학과

**회원, 국방과학연구소

method)에 의해 모드 I, II 응력세기계수를 계산하였다. Kim 등⁽⁸⁾은 2개의 등방탄성층으로 이루어진 중앙균열모델에 대하여 임의의 반대칭 균열표면 수직하중이 작용할 때 다양한 물성치 및 기하학적 변수의 변화에 따른 모드 I 응력세기계수의 영향을 검토하였다.

그러나, 다수의 층으로 이루어진 복합재 중앙균열면에 임의의 수직 및 면내 전단하중이 작용할 때의 응력세기계수에 관한 연구는 찾아보기 힘들다. 따라서, 본 연구에서는 여러개의 탄성층으로 이루어진 복합재 중앙균열면에 임의의 수직 및 전단하중이 작용하는 경우에 대하여 적분변환법을 이용하여 Fredholm 적분방정식을 유도하고 이로부터 수치해석적인 방법에 의하여 모드 I, II 응력세기계수를 산출하고 전단계수비, 푸아송비, 균열길이 대 탄성층의 두께비 및 각 멱급수 누승의 영향을 분석하고자 한다.

2. 이 론

균열모델은 Fig. 1과 같다. 두께 $2h_1$ 의 제1 탄성층은 길이 $2a$ 의 균열을 내재하며 두께 $h_{j+1} - h_j$ ($j = 1, \dots, n-1$)를 갖는 인접 탄성층과 평행하게 경계를 이룬다. n 개의 적층된 탄성층은 이웃하는 탄성층과 완전히 접착되었고 제1 탄성층의 중앙균열면에는 임의의 멱급수 수직 및 전단하중이 작용한다고 가정하였다.

2.1 수직하중이 작용할 때 응력세기계수

선형 탄성이론에 의하여 응력과 변위성분은 다음

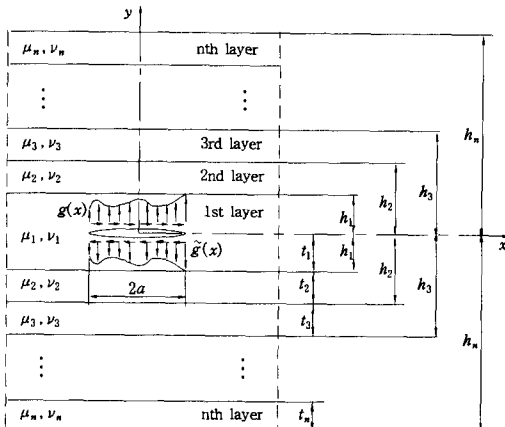


Fig. 1 Configuration of the model

과 같이 Fourier 적분변환한 함수 G_j 의 적분형으로 표시된다.⁽⁹⁾

$$\begin{aligned}\sigma_{xx(j)} &= \frac{1}{\pi} \int_0^\infty \frac{\partial^2 G_j}{\partial y^2} \left[\frac{\cos \xi x}{\sin \xi x} \right] d\xi \\ \sigma_{yy(j)} &= -\frac{1}{\pi} \int_0^\infty \xi^2 G_j \left[\frac{\cos \xi x}{\sin \xi x} \right] d\xi \\ \sigma_{xy(j)} &= \frac{1}{\pi} \int_0^\infty \frac{\partial G_j}{\partial y^2} \left[\frac{\sin \xi x}{-\cos \xi x} \right] d\xi \\ u_{(j)} &= \frac{(1+\nu_j)}{\pi E_j} \int_0^\infty \left[(1-\nu_j) \frac{\partial^2 G_j}{\partial y^2} \right. \\ &\quad \left. + \nu_j \xi^2 G_j \right] \left[\frac{\sin \xi x}{-\cos \xi x} \right] d\xi / \xi \\ u_{(j)} &= \frac{(1+\nu_j)}{\pi E_j} \int_0^\infty \left[(1-\nu_j) \frac{\partial^3 G_j}{\partial y^3} \right. \\ &\quad \left. + (\nu_j-2) \xi^2 \frac{\partial G_j}{\partial y} \right] \left[\frac{\cos \xi}{\sin \xi x} \right] d\xi / \xi^2 \end{aligned} \quad (1)$$

여기서,

$$\begin{aligned}G_j &= \left[A_j(\xi) + \xi y B_j(\xi) \right] \cosh(\xi y) \\ &\quad + \left[C_j(\xi) + \xi y D_j(\xi) \right] \sinh(\xi y) \\ (j &= 1, 2, 3, \dots, n) \end{aligned} \quad (2)$$

적분항안의 벡터항중 첫번째 및 두번째 행은 대칭 및 반대칭 하중이 작용한 경우를 각각 나타낸다. 첨자 $j=1$ 은 균열을 내재하는 첫번째 층을 의미하며, $\sigma_{xx(j)}$, $\sigma_{yy(j)}$, $\sigma_{xy(j)}$ 및 $u_{(j)}$, $v_{(j)}$ 는 각각 응력 성분 및 변위성분을 나타낸다. ν_j 와 E_j 는 각각 j 번째 층의 푸아송비, 전단계수이며 $A_j(\xi)$, $B_j(\xi)$, $C_j(\xi)$, $D_j(\xi)$ 는 결정해야 할 미지수이다.

모델의 대칭성으로 인하여 수직하중이 작용할 때 경계조건은 다음과 같다.

$$\begin{aligned}\sigma_{yy(1)} &= -g(x) \quad (a < x < x, y=0) \\ v_{(1)} &= 0 \quad (|x| > a, y=0) \\ \sigma_{xy(1)} &= 0 \quad (-\infty < x < \infty, y=0) \\ \sigma_{xy(j)} &= \sigma_{xy(j+1)} \quad (-\infty < x < \infty, y=h_j) \\ (j &= 1, \dots, n-1) \\ \sigma_{yy(j)} &= \sigma_{yy(j+1)} \quad (-\infty < x < \infty, y=h_j) \\ (j &= 1, \dots, n-1) \\ u_{(j)} &= u_{(j+1)} \quad (-\infty < x < \infty, y=h_j) \\ (j &= 1, \dots, n-1) \\ v_{(j)} &= v_{(j+1)} \quad (-\infty < x < \infty, y=h_j) \\ (j &= 1, \dots, n-1) \\ \sigma_{xy(n)} &= 0 \quad (\infty < x < \infty, y=h_n) \\ \sigma_{yy(n)} &= 0 \quad (\infty < x < \infty, y=h_n) \end{aligned} \quad (3)$$

여기서, $h_j (j=1, \dots, n)$ 은 j 번째 탄성총까지 두께이며 $g(x)$ 는 균열면에 작용하는 임의의 수직응력으로써 다음과 같이 정의된다.

$$\begin{aligned} g(x) &= \sum_{\beta=0}^{\infty} p_{\beta} \left(\frac{x}{a}\right)^{\beta} \\ &= \sum_{k=0}^{\infty} p_{2k} \left(\frac{x}{a}\right)^{2k} + \sum_{k=1}^{\infty} p_{2k-1} \left(\frac{x}{a}\right)^{2k-1} \end{aligned} \quad (4)$$

여기서, p_{2k} 와 p_{2k-1} 는 각각 대칭 및 반대칭 수직하중 성분에 대한 주어진 상수이다.

수식유도의 간결성을 위하여 $g(x)$ 를 대칭 및 반대칭 하중부분으로 나누어 유도한다. 식(3)의 경계조건과 식(1)로부터 다음과 같이 각 하중에 따른 쌍적분방정식(dual integral equations)을 구할 수 있다.

$$\int_0^{\infty} M(\xi) \begin{bmatrix} \cos \xi x \\ \sin \xi x \end{bmatrix} d\xi = \begin{bmatrix} 0 \\ 0 \end{bmatrix} \quad (|x| > a) \quad (5)$$

$$\begin{aligned} \int_0^{\infty} \xi F(\xi) M(\xi) \begin{bmatrix} \cos \xi x \\ \sin \xi x \end{bmatrix} d\xi \\ = \pi \begin{bmatrix} p_{2k} \left(\frac{x}{a}\right)^{2k} \\ p_{2k-1} \left(\frac{x}{a}\right)^{2k-1} \end{bmatrix} \quad (|x| < a) \end{aligned} \quad (6)$$

여기서,

$$\begin{aligned} F(\xi) &\equiv \frac{\xi A_1(\xi)}{M(\xi)} \\ M(\xi) &\equiv \xi B_1(\xi) \\ B_1(\xi) &= -C_1(\xi) \end{aligned} \quad (7)$$

식(7)에서 $A_1(\xi)$ 은 다음과 같은 식으로부터 산출된다.

$$T = Q^{-1}R \quad (8)$$

여기서,

$$T = [A_1, D_1, A_2, D_2, \dots, A_n, B_n, C_n, D_n]^T \quad (9)$$

$$R = [R_1, R_2, R_3, R_4, \dots, R_{4n-2}]^T \quad (10)$$

$$R_1 = \text{Tanh} z_1 - z_1, \quad R_2 = -z_1 \text{Tanh} z_1$$

$$R_3 = -[(1-2\nu_1) \text{Tanh} z_1 + z_1]$$

$$R_4 = z_1 \text{Tanh} z_1 - 2(1-\nu_1)$$

$$R_5 = R_6 = \dots = R_{4n-2} = 0 \quad (z_1 \equiv \xi h_1) \quad (11)$$

Q 는 부록 A에 정의되어 있다.

식(5)와 식(6)의 쌍적분방정식을 풀기 위하여 $M(\xi)$ 를 대칭 및 반대칭 하중에 따라 다음과 같이 가정한다. ⁽¹⁰⁾

$$M(\xi) = \int_0^a \begin{bmatrix} \phi_{2k}(t) & J_0(\xi t) \\ \psi_{2k-1}(t) & J_1(\xi t) \end{bmatrix} dt \quad (12)$$

여기서, J_0 와 J_1 는 제1종 0차 및 1차 Bessel 함수이며, $\phi_{2k}(t)$ 와 $\psi_{2k-1}(t)$ 는 결정될 함수로서 식(12)는 식(5)를 자동으로 만족하며, 식(12)를 식(6)에 적용하면 다음과 같은 제2종 Fredholm 적분방정식을 구할 수 있다.

$$\begin{aligned} & \left[\begin{array}{c} \Phi_{2k}(\sigma) \\ \Psi_{2k-1}(\sigma) \end{array} \right] + \int_0^1 K(\tau, \sigma) \left[\begin{array}{c} \Phi_{2k}(\tau) \\ \Psi_{2k-1}(\tau) \end{array} \right] d\tau \\ &= \left[\begin{array}{c} q_{2k}(\sigma) \\ f_{2k-1}(\sigma) \end{array} \right] \end{aligned} \quad (13)$$

여기서,

$$\begin{aligned} K(\tau, \sigma) &= \sqrt{\tau\sigma} \int_0^{\infty} a [F(a/a) - 1] \\ & \left[\begin{array}{c} J_0(a\tau) J_0(a\sigma) \\ J_1(a\tau) J_1(a\sigma) \end{array} \right] da \\ q_{2k}(\sigma) &= \frac{(2k-1)!!}{(2k)!!} \sigma^{2k+1/2} \\ f_{2k-1}(\sigma) &= \frac{(2k-1)!!}{(2k)!!} \sigma^{2k-1/2} \\ (2k-1)!! &\equiv (2k-1) \times (2k-3) \cdots 3 \times 1, \\ (2k)!! &\equiv (2k) \times (2k-2) \cdots 4 \times 2 \end{aligned} \quad (14)$$

식(13)을 무차원화하기 위하여 다음과 같은 무차원 변수가 사용되었다.

$$\begin{aligned} t &\equiv a\tau, \quad s \equiv a\sigma, \quad a \equiv \xi a, \quad x \equiv a\bar{x} \\ \phi_{2k}(t) &\equiv \pi \sqrt{aa} p_{2k} \Phi_{2k}(\tau) \\ \psi_{2k-1}(t) &\equiv \pi \sqrt{aa} p_{2k-1} \Psi_{2k-1}(\tau) \end{aligned} \quad (15)$$

식(13)의 Fredholm 적분방정식의 수치적 해를 구하기 위하여 Gaussian-Laguerre 적분법을 도입하고 $\tau_m = \sigma_m$ ($m=1 \sim N_G$)으로 하면 $\Phi_{2k}(\tau_m)$ 과 $\Psi_{2k}(\tau_m)$ 은 다음과 같이 수치적으로 결정될 수 있다.

$$\begin{aligned} & \sum_{m=1}^N \left\{ \delta_{me} + K(\tau_m, \tau_e) \left[\begin{array}{c} \Phi_{2k}(\tau_m) \\ \Psi_{2k-1}(\tau_m) \end{array} \right] \right\} W(\tau_m) \\ &= \left[\begin{array}{c} q_{2k}(\tau_e) \\ f_{2k-1}(\tau_e) \end{array} \right] \quad (e=1 \sim N_G) \\ K(\tau_m, \tau_e) &= \sqrt{\tau_m \tau_e} \sum_{l=1}^{N_l} a_l [F(a_l/a) - 1] \\ & \times \left[\begin{array}{c} J_0(a_l \tau_m) J_0(a_l \tau_e) \\ J_1(a_l \tau_m) J_1(a_l \tau_e) \end{array} \right] W(a_l) \end{aligned} \quad (17)$$

δ_{me} 는 Kronecker's delta이고 τ_m 과 τ_e 은 각각 적분 점(integration point)과 병치점(collocation point)이다. $W(a_l)$ 은 Laguerre 적분 가중함수

(weight function), $W(\tau_m)$ 은 Gaussian 적분가중 함수이며, 본 연구에서 수렴성을 검토한 후 수치해석에 사용된 적분점 개수는 $N_t=30$, $N_c=110$ 이다. 따라서 식 (16)에서 $\Phi_{2k}(\tau_m)$ 과 $\Psi_{2k-1}(\tau_m)$ 을 수치해석적으로 산출할 수 있으며 식 (8) ~ (11)로부터 미지수 $A_j(\xi)$, $B_j(\xi)$, $C_j(\xi)$, $D_j(\xi)$ 를 구할 수 있다.

균열 우측과 좌측 선단에서 응력세기계수 K_{IR} 과 K_{IL} 은 다음 식에 의하여 구하여 진다.⁽¹¹⁾

$$\begin{aligned} K_{IR} &= \lim_{x \rightarrow 1^+} \sqrt{2\pi a(x-1)} \sigma_{yy(1)}(\bar{x}, 0) \\ K_{IL} &= \lim_{x \rightarrow 1^+} \sqrt{-2\pi a(x+1)} \sigma_{yy(1)}(\bar{x}, 0) \end{aligned} \quad (18)$$

식 (1), (2), (8), (12), (13)과 식 (18)로부터 응력세기계수는 다음과 같이 된다.

$$\begin{aligned} K_{IR} &= \sqrt{\pi a} \left[\Phi_0(1) p_0 + \sum_{k=1}^{\infty} \{ \Phi_{2k}(1) p_{2k} \right. \\ &\quad \left. + \Psi_{2k-1}(1) p_{2k-1} \} \right] \\ K_{IL} &= \sqrt{\pi a} \left[\Phi_0(1) p_0 + \sum_{k=1}^{\infty} \{ \Phi_{2k}(1) p_{2k} \right. \\ &\quad \left. - \Psi_{2k-1}(1) p_{2k-1} \} \right] \end{aligned} \quad (19)$$

2.2 면내 전단하중이 작용할 때 응력세기계수
선형 탄성이론에 의하여 응력과 변위성분은 수직 하중의 경우와 유사하게 다음과 같이 Fourier 적분 변환한 함수 G_j 적분형으로 표시된다.⁽⁹⁾

$$\begin{aligned} \sigma_{xx(j)} &= \frac{1}{\pi} \int_0^\infty \frac{\partial^2 \tilde{G}_j}{\partial y^2} \left[\begin{array}{c} \sin \xi x \\ \cos \xi x \end{array} \right] d\xi \\ \sigma_{xy(j)} &= \frac{1}{\pi} \int_0^\infty \frac{\partial \tilde{G}_j}{\partial y} \left[\begin{array}{c} \sin \xi x \\ -\cos \xi x \end{array} \right] d\xi \\ u_{(j)} &= \frac{(1+\nu_j)}{\pi E_j} \int_0^\infty \left[(1-\nu_j) \frac{\partial^2 \tilde{G}_j}{\partial y^2} \right. \\ &\quad \left. + \nu_j \xi^2 \tilde{G}_j \right] \left[\begin{array}{c} -\cos \xi x \\ \sin \xi x \end{array} \right] d\xi / \xi \\ v_{(j)} &= \frac{(1+\nu_j)}{\pi E_j} \int_0^\infty \left[(1-\nu_j) \frac{\partial^3 \tilde{G}_j}{\partial y^3} \right. \\ &\quad \left. + (\nu_j-2) \xi^2 \frac{\partial \tilde{G}_j}{\partial y} \right] \left[\begin{array}{c} \sin \xi x \\ \cos \xi x \end{array} \right] d\xi / \xi^2 \end{aligned} \quad (20)$$

여기서,

$$\begin{aligned} \tilde{G}_j &= [\tilde{A}_j(\xi) + \xi y \tilde{B}_j(\xi) \cosh(\xi y) \\ &\quad + [C_j(\xi) + \xi y \tilde{D}_j(\xi)] \sinh(\xi y)] \end{aligned} \quad (21)$$

$\tilde{A}_j(\xi)$, $\tilde{B}_j(\xi)$, $\tilde{C}_j(\xi)$, $\tilde{D}_j(\xi)$ 는 결정되어 질 때

지수이다.

면내 전단하중이 작용할 때 경계조건은 다음과 같다.

$$\begin{aligned} \sigma_{yy(1)} &= -\tilde{g}(x) & (\alpha < x < a, y=0) \\ u_{(1)} &= 0 & (|x| > a, y=0) \\ \sigma_{yy(1)} &= 0 & (-\infty < x < \infty, y=0) \\ \sigma_{xy(j)} &= \sigma_{xy(j+1)} & (-\infty < x < \infty, y=h_j) \\ & (j=1, \dots, n-1) \\ \sigma_{yy(j)} &= \sigma_{xy(j+1)} & (-\infty < x < \infty, y=h_j) \\ & (j=1, \dots, n-1) \\ u_{(j)} &= u_{(j+1)} & (-\infty < x < \infty, y=h_j) \\ & (j=1, \dots, n-1) \\ v_{(j)} &= v_{(j+1)} & (-\infty < x < \infty, y=h_j) \\ & (j=1, \dots, n-1) \\ \sigma_{xy(n)} &= 0 & (\infty < x < \infty, y=h_j) \\ \sigma_{yy(n)} &= 0 & (\infty < x < \infty, y=h_j) \end{aligned} \quad (22)$$

여기서, $\tilde{g}(x)$ 는 균열면에 작용하는 임의의 전단하중이며, 다음과 같이 정의된다.

$$\begin{aligned} \tilde{g}(x) &= \sum_{\beta=0}^{\infty} \tilde{p}_{\beta} \left(\frac{x}{a} \right)^{\beta} \\ &= \sum_{k=0}^{\infty} \tilde{p}_{2k} \left(\frac{x}{a} \right)^{2k} \\ &\quad + \sum_{k=1}^{\infty} \tilde{p}_{2k-1} \left(\frac{x}{a} \right)^{2k-1} \\ \tilde{g}(x) &= \sum_{\beta=0}^{\infty} \tilde{p}_{\beta} \left(\frac{x}{a} \right)^{\beta} \\ &= \sum_{k=0}^{\infty} \tilde{p}_{2k} \left(\frac{x}{a} \right)^{2k} \\ &\quad + \sum_{k=1}^{\infty} \tilde{p}_{2k-1} \left(\frac{x}{a} \right)^{2k-1} \end{aligned} \quad (23)$$

여기서, \tilde{p}_{2k} 와 \tilde{p}_{2k-1} 은 각각 대칭 및 반대칭 전단하중 성분에 대한 주어진 상수이다. 수직하중이 작용 할 때와 유사한 방법으로 임의의 전단하중이 작용 할 때의 제 2종 Fredholm 적분방정식을 다음과 같이 구할 수 있다.

$$\begin{aligned} & \left[\begin{array}{c} \tilde{\Phi}_{2k}(\sigma) \\ \tilde{\Psi}_{2k-1}(\sigma) \end{array} \right] + \int_0^1 K(\tau, \sigma) \left[\begin{array}{c} \tilde{\Phi}_{2k}(\tau) \\ \tilde{\Psi}_{2k-1}(\tau) \end{array} \right] d\tau \\ &= \left[\begin{array}{c} q_{2k}(\sigma) \\ f_{2k-1}(\sigma) \end{array} \right] \end{aligned} \quad (24)$$

여기서,

$$\begin{aligned} \tilde{K}(\tau, \sigma) &= \sqrt{\tau\sigma} \int_0^\infty a [\tilde{F}(\alpha/a) - 1] \\ &\quad \times \left[\begin{array}{c} J_0(\alpha\tau) J_0(\alpha\sigma) \\ J_1(\alpha\tau) J_1(\alpha\sigma) \end{array} \right] da \end{aligned} \quad (25)$$

$$\begin{aligned} t &= a\tau, \quad s = a\sigma, \quad a = \xi a, \quad x = a\bar{x} \\ \tilde{\phi}_{2k}(t) &\equiv \pi\sqrt{aa} \tilde{p}_{2k} \Phi_{2k}(\tau), \\ \tilde{\psi}_{2k-1}(t) &= \pi\sqrt{aa} \tilde{p}_{2k-1} \tilde{\Psi}_{2k-1}(\tau) \end{aligned} \quad (26)$$

균열 우측과 좌측 선단에서 응력세기계수 K_{IR} 과 K_{IL} 는 다음식에 의하여 구하여 진다.

$$\begin{aligned} K_{IR} &= \lim_{x \rightarrow 1^-} \sqrt{2\pi a(\bar{x}-1)} \sigma_{yy(1)}(\bar{x}, 0) \\ K_{IL} &= \lim_{x \rightarrow -1^+} \sqrt{-2\pi a(\bar{x}+1)} \sigma_{xy(1)}(\bar{x}, 0) \end{aligned} \quad (27)$$

수직하중이 작용할 때와 유사한 방법으로 임의의 전단하중이 작용할 때의 균열 좌우측에서 응력세기계수는 다음과 같이 구해진다.

$$\begin{aligned} K_{IR} &= \sqrt{\pi a} \left[\tilde{\Phi}_0(1) \tilde{p}_0 + \sum_{k=1}^{\infty} (\tilde{\Phi}_{2k}(1) \tilde{p}_{2k} \right. \\ &\quad \left. + \tilde{\Psi}_{2k-1}(1) \tilde{p}_{2k-1}) \right] \\ K_{IL} &= \sqrt{\pi a} \left[\tilde{\Phi}_0(1) \tilde{p}_0 + \sum_{k=1}^{\infty} (\tilde{\Phi}_{2k}(1) \tilde{p}_{2k} \right. \\ &\quad \left. - \tilde{\Psi}_{2k-1}(1) \tilde{p}_{2k-1}) \right] \end{aligned} \quad (28)$$

3. 수치해석 및 고찰

균질동방성 반무한체 경우에 대하여 식 (13)과 식 (24)에 $F(a/a) = \tilde{F}(a/a) = 1$ 이므로 $K(\tau, \sigma), \tilde{K}(\tau, \sigma) = 0$ 가 된다. 따라서 이때 균열 좌우측에서 모드 I, II 응력세기계수는 다음과 같이 된다.

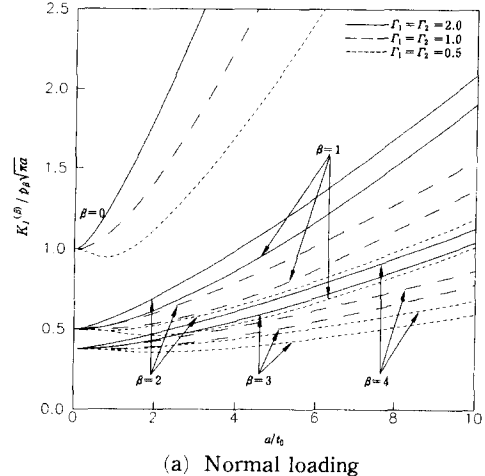
$$\begin{aligned} K_{IR} &= \sqrt{\pi a} \left[p_0 + \sum_{k=1}^{\infty} \frac{(2k-1)!!}{(2k)!!} (p_{2k} + p_{2k-1}) \right] \\ &= (p_0 + \frac{1}{2} p_1 + \frac{1}{2} p_2 + \dots) \sqrt{\pi a} \end{aligned}$$

$$\begin{aligned} K_{IL} &= \sqrt{\pi a} \left[p_0 + \sum_{k=1}^{\infty} \frac{(2k-1)!!}{(2k)!!} (p_{2k} - p_{2k-1}) \right] \\ &= (p_0 + \frac{1}{2} p_1 + \frac{1}{2} p_2 + \dots) \sqrt{\pi a} \end{aligned}$$

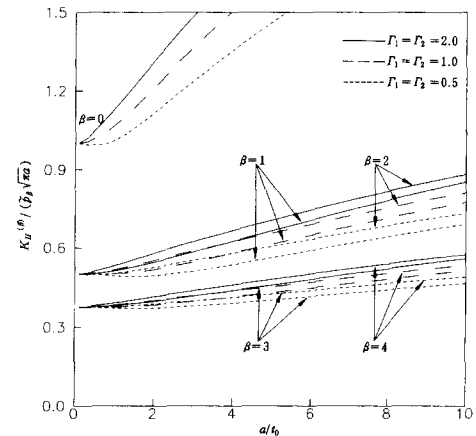
$$\begin{aligned} K_{IR} &= \sqrt{\pi a} \left[\tilde{p}_0 + \sum_{k=1}^{\infty} \frac{(2k-1)!!}{(2k)!!} (\tilde{p}_{2k} - \tilde{p}_{2k-1}) \right] \\ &= (\tilde{p}_0 - \frac{1}{2} \tilde{p}_1 + \frac{1}{2} \tilde{p}_2 + \dots) \sqrt{\pi a} \\ K_{IL} &= \sqrt{\pi a} \left[\tilde{p}_0 + \sum_{k=1}^{\infty} \frac{(2k-1)!!}{(2k)!!} (\tilde{p}_{2k} + \tilde{p}_{2k-1}) \right] \\ &= (\tilde{p}_0 + \frac{1}{2} \tilde{p}_1 + \frac{1}{2} \tilde{p}_2 + \dots) \sqrt{\pi a} \end{aligned} \quad (29)$$

이는 Isida⁽⁶⁾의 결과와 일치한다.

3개의 이종탄성층의 경우, 각 층은 서로 다른 탄성층들로 구성되었으며 이때 산출된 모드 I과 모



(a) Normal loading



(b) Shear loading

Fig. 2 Dimensionless stress intensity factor for three layered case

드 II의 무차원 응력세기계수는 $a/h_1, a/h_2, a/h_3, \Gamma_1 (\equiv \mu_1/\mu_2), \Gamma_2 (\equiv \mu_2/\mu_3), \nu_1, \nu_2, \nu_3$ 및 β 에 영향을 받는다. 3개의 이종탄성층의 두께가 일정한 경우 ($t_1 = t_2 = t_3 = t_0$), 각 탄성층의 두께 및 균열 우측 선단의 멱급수 누승하중에 대한 모드 I과 모드 II의 무차원 응력세기계수 $K_I^{(\beta)}/p_\beta/\sqrt{\pi a}$ 와 $K_{II}^{(\beta)}/p_\beta/\sqrt{\pi a}$ 를 산출한 결과는 Fig. 2와 같다. 외각층에서 자유면의 영향(free surface effect)으로 인하여 a/t_0 가 증가할수록 모드 I과 모드 II의 무차원 응력세기계수가 증가한다. $\Gamma_1 = \Gamma_2 = 2.0$ 에 대한 모드 I과 모드 II의 무차원 응력세기계수는 $\Gamma_1 = \Gamma_2 = 0.5$ 보다 크다. 모드 I과 모드 II의 무차원 응력세기계수는 멱급수 누승(β)이 증가할수록 감소하며 이는 Isida⁽⁶⁾의 결과와 경향이 같다.

여러 개의 탄성층으로 이루어진 적층재의 전단계수가 적층방향에 대하여 감소 또는 증가하고, 각 멱급수 누승(β) 하중이 작용한 경우에 대하여 균열길이에 따른 모드 I과 모드 II의 무차원 응력세

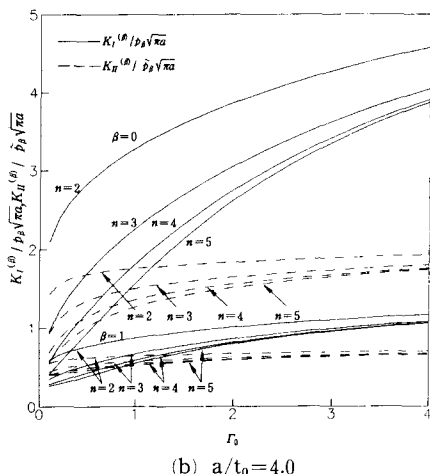
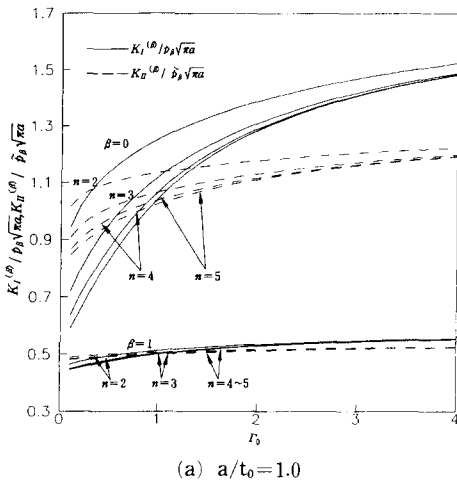


Fig. 2 Dimensionless stress intensity factor for multi-layer case

Tabel 1 The material properties used for composites⁽¹²⁾

Type	Shear modulus ($\times 10^6$ psi)	Poisson's ratio
E-glass	4.40	0.20
Graphite	33.33	0.20
Epoxy	0.19	0.35

기계수를 산출하였다. Fig. 3은 일정한 두께의 ($t_1=t_2=\cdots=t_n=t_0$) 탄성층으로 이루어진 적층재에 대한 균열 우축선단의 모드 I과 모드 II의 무차원 응력세기계수 $K_I/\sqrt{\pi a}$ 와 $K_{II}/\beta_B \sqrt{\pi a}$ 이며 탄성층의 개수가 어느 정도 증가($n=5$)하면 모드 I과 모드 II의 무차원 응력세기계수 값은 크게 변화하지 않는다. 탄성층이 상대적으로 얇을 때($a/t_0=4.0$), 탄성층 두께영향(layer thickness effect)이 점차 커짐으로 인해서 탄성층의 수(n) 증감에 따른 모드 I과 모드 II의 무차원 응력세기계수 변화가 크게 나타난다. 그러나 탄성층의 두께가 두꺼우면 ($a/t_0=1.0$) 탄성층의 전단계수비와 탄성층의 수가 무차원 응력세기계수에 크게 영향을 주지 못한다. 또한, 멱급수 누승(β)이 증가하고 a/t_0 가 감소할 수록 전단계수비의 증감에 따른 모드 I과 모드 II의 무차원 응력세기계수 변화는 감소된다.

균열이 내재된 복합적층재의 경우에 대하여 해석하기 위하여 항공기 및 일반공학적 구조물에서 많이 사용되는 E-glass/epoxy 만으로 이루어진 monolithic 복합재와 E-glass/epoxy 및 Graphite/epoxy의 조합으로 이루어진 hybrid 복합재를 선정하였다. 이때 사용된 물성치는 Table 1과 같다.

모노리티(monolithic) 복합재 해석을 위한 모델은 Fig. 4와 같다. 균열이 있는 수지층(epoxy)의 두께는 t_{m0} , 섬유층(E-glass fiber)의 두께는 t_f 이고 균열을 내재하지 않은 수지층(epoxy)의 두께는 t_m 이라고 가정하였다. 이때 균열을 내재한 수지층 근처에서 국부 섬유체적 함유율(local fiber volume fraction) V_{LF} 은 다음과 같이 산출된다.⁽¹³⁾

$$V_{LF} = \frac{t_f}{t_{m0} + t_f}$$

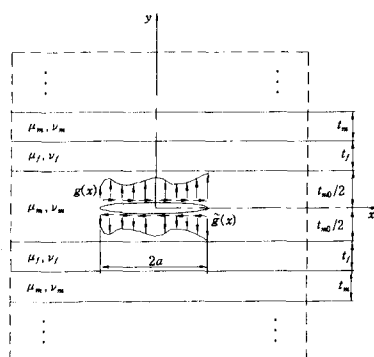
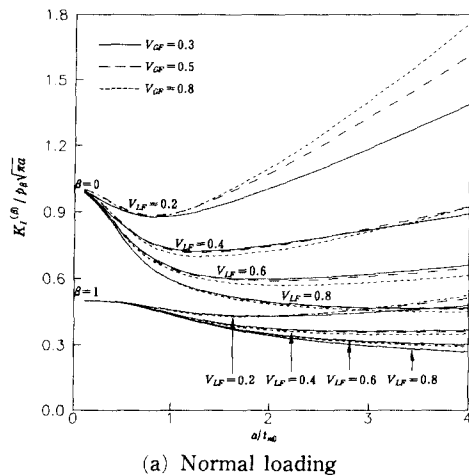


Fig. 4 Geometry of monolithic composites

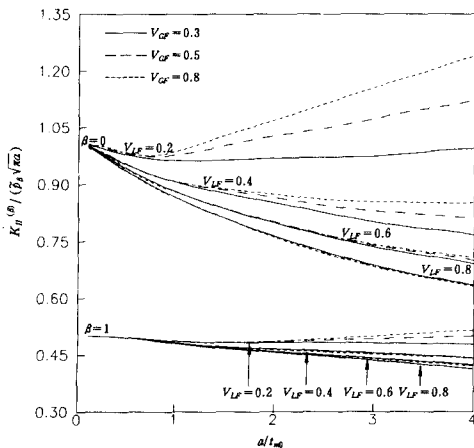
또한, 균열을 내재한 수지층 외부에서 전체 섬유체적 함유율(global fiber volume fraction) V_{GF} 은 다음과 같이 산출된다.⁽¹³⁾

$$V = \frac{t_f}{t_m + t_f} \quad (31)$$

Fig. 5는 여러가지 국부 섬유체적 함유율과 전체 섬유체적 함유율에 대하여 균열이 내재된 수지층 두께에 따른 모드 I과 모드 II의 무차원 응력세기계수를 산출한 것이다. 국부 섬유체적 함유율(V_{LF})이 모드 I과 모드 II의 무차원 응력세기계수에 미치는 영향은 전체 섬유체적 함유율(V_{GF})이 미치는 영향보다 더 지배적임을 알 수 있다. 특히, 국부 섬유체적 함유율이 낮은 경우($V_{LF}=0.2$)에



(a) Normal loading



(b) Shear loading

Fig. 5 Dimensionless stress intensity factor for monolithic composites

무차원 응력세기계수는 국부 섬유체적 함유율이 높은 경우($V_{LF}=0.4, 0.6, 0.8$)의 모드 I과 모드 II의 무차원 응력세기계수보다 상대적으로 더 크며 이는 Bechel 등⁽¹³⁾의 경향과 일치한다. 그러나 균열을 내재한 수지층이 얇고($a/t_m > 1$) 국부 섬유체적 함유율이 낮을 때($V_{LF}=0.2$)에는 전체 섬유체적 함유율도 모드 I과 모드 II의 무차원 응력세기계수에 영향을 미침을 알 수 있다.

하이브리드(hybrid) 복합재 해석을 위한 모델은 Fig. 6과 같다. 균열이 있는 수지층(epoxy)의 두께는 t_{m0} , 균열을 내재하지 않은 다른 모든 수지층의 두께는 t_m , 섬유층(E-glass fiber 또는 Graphite fiber)의 두께는 $t_{f1}, t_{f2}, \dots, t_{fn}$ 으로 표현되며, 이 때 첨자 1은 첫번째 섬유층을 첨자 n 은 n 번째 섬유층을 각각 나타낸다. 이때 균열을 내재한 수지층 근처에서 국부 섬유체적 함유율 V_{LF} 은 식⁽³⁰⁾과 같으며 균열을 내재한 수지층 외부에서 전체 섬유체적 함유율 V_{GF} 은 다음과 같이 산출된다.

$$V_{GF} = \frac{t_{f1} + t_{f2}}{2t_m + t_{f1} + t_{f2}} \quad (32)$$

Fig. 7은 여러가지 하이브리드 복합재에 대하여 전체 섬유체적 함유율이 일정하며 ($V_{GF}=0.5$) 균열을 내재한 수지층의 두께에 따른 국부 섬유체적 함유율을 변화할 때 모드 I과 모드 II의 무차원 응력세기계수를 구한 것이다. 국부 섬유체적 함유율이 낮을 때($V_{LF}=0.2$), E-glass/epoxy/Graphite/epoxy와 Graphite/epoxy/E-glass/epoxy의 경우에 대한 모드 I과 모드 II의 무차원 응력세기계수는 큰 차이가 없음을 알 수 있다. 그러나 국부 섬유체적 함유율이 상대적으로 높으면($V_{LF}=0.8$) 균열을

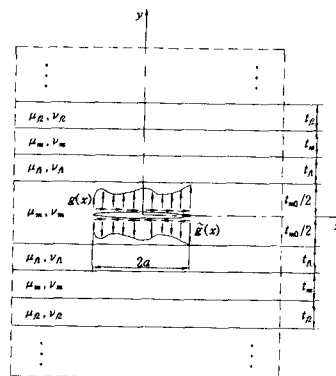
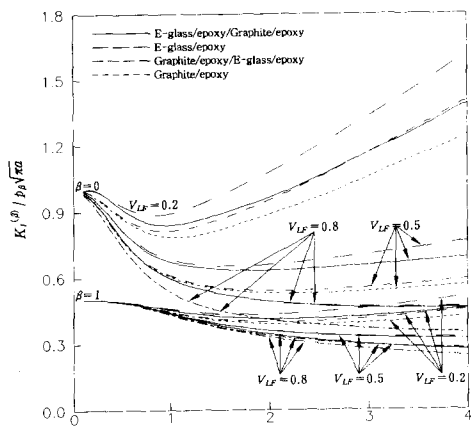
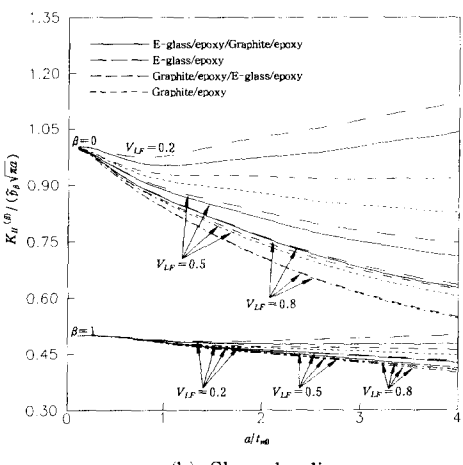


Fig. 6 Geometry of hybrid composites



(a) Normal loading



(b) Shear loading

Fig. 7 Comparision of dimensionless stress intensity factors between monolithic and hybrid composites

내재한 수지층이 얇을 때 ($a/t_{m0} > 1$), Graphite/epoxy/E-glass/epoxy의 무차원 응력세기계수는 E-glass/epoxy/Graphite/epoxy의 무차원 응력세기계수 보다 상대적으로 작다.

4. 결 론

복합적층재 내부 중앙균열면에 임의의 멱급수 수직 및 전단하중이 작용하는 모델에 대하여 파괴역학적 해석을 수행한 결과, 다음과 같은 결론을 얻었다.

(1) 적분변환법을 사용하여 제2종 Fredholm 적

분방정식을 유도하였으며 수치해석적 방법에 의하여 응력세기계수를 산출하였다. 그 결과는 단순모델의 기존해와 잘 일치하였다.

(2) 여러 개의 탄성층으로 이루어진 복합적층재에 대하여 탄성층의 균열길이 대 두께의 비와 전단계수비가 증가하거나 각 멱급수 누승과 탄성층의 수가 감소함에 따라 무차원 응력세기계수는 증가한다.

(3) 모노리티 E-glass/epoxy 복합재와 하이브리드 복합재의 무차원 응력세기계수는 국부 섬유체적 함유율에 크게 영향을 받는다.

(4) 하이브리드 복합재의 경우, 국부 섬유체적 함유율이 상대적으로 높고 균열을 내재한 수지층의 두께가 얕을 때 Graphite/epoxy/E-glass/epoxy로 이루어진 복합재의 무차원 응력세기계수는 E-glass/epoxy/Graphite/epoxy로 이루어진 복합재보다 상대적으로 작다.

참고문헌

- Hilton, P. D. and Sih, G. C., 1970, "A Sandwiched Layer of Dissimilar Material Weakened by Crack like Imperfections," *Proceedings of the Fifth South Eastern Conference on the Theoretical and Applied Mechanics*, G. L. Rogers, S. C. Kranc and E. G. Henneke ed., Vol. 5, pp. 123~149.
- Delale, F. and Erdogan, F., 1988, "On the Mechanical Modeling of the Interfacial Region in Bonded Half-Planes," *ASME Journal of Applied Mechanics*, Vol. 55, pp. 317~324.
- 김성호, 오재협, 옹장우, 1991, "단순인장을 받는 복합적층재의 응력확대계수," *대한기계학회 논문집*, 제16권, 제5호, pp. 1611~1619.
- 김성호, 오재협, 옹장우, 1991, "전단하중을 받는 복합적층재의 응력확대계수," *대한기계학회 논문집*, 제16권, 제5호, pp. 838~848.
- Isida, M., 1971, "Effect of Width and Length on Stress Intensity Factors of Internally Cracked Plates under Various Boundary Conditions," *International Journal of Fracture*, Vol. 7, No. 3, pp. 301~316.
- Isida, M., 1976, "Elastic Analysis of Cracks and Stress Intensity Factors," (in Japanese),

- Fracture Mechanics and Strength of Materials*, Vol. 2, Baifuukan, p. 128.
- (7) Chen, W. H. and Chang, C. S., 1989, "Analysis of Two-Dimensional Fracture Problems with Multiple Cracks under Mixed Boundary Conditions," *Engineering Fracture Mechanics*, Vol. 34, No. 4, pp. 921~934.
- (8) Kim, S. H., Lee, K. Y. and Park, M. B., 1994, "Mode I Stress Intensity Factors for Layered Materials under Anti-symmetric Loadings," *Engineering Fracture Mechanics*, in Press.
- (9) Sneddon, I. N., 1951, *Fourier Transforms*, McGraw-Hill.
- (10) Copson, E. T., 1961, "On Certain Dual Integral Equations," *Proceeding of Glasgow Mathematical Association*, Vol. 5, pp. 19~24.
- (11) Sneddon, I. N. and Lowengrub, M., 1969, *Crack Problems in the Classical Theory of Elasticity*, John Wiley and Sons Inc., U. S. A.
- (12) Schwartz, M. M., 1992, *Composite Materials Handbook*, 2nd ed., McGraw Hill Inc.
- (13) Bechel, V. T. and Kaw, A. K., 1994, "Fracture Mechanics of Composites with Non-homogeneous Interphases and Nondilute Fiber Volume Fractions," *International Journal of Solids and Structures*, Vol. 31, No. 15, pp. 2053~2070.
- 부 록 A**
- 식 (8)의 Q는 다음과 같다.
- $$\begin{aligned} Q_{11} &= 1 \\ Q_{12} &= \operatorname{Tanh} z_1 \\ Q_{21} &= \operatorname{Tanh} z_1 \\ Q_{22} &= \operatorname{Tanh} z_1 + z_1 \\ Q_{31} &= 1 \\ Q_{32} &= z_1' \operatorname{Tanh} z_1' + 2(1-\nu_1) \\ Q_{41} &= -\operatorname{Tanh} z_1 \\ Q_{42} &= (1-2\nu_1) \operatorname{Tanh} z_1 - z_1 \end{aligned} \quad (\text{A1})$$
- (A2)
- $$\begin{aligned} Q_{(4j-1)(4j-1)} &= -1 \\ Q_{(4j-1)(4j)} &= -z_j \\ Q_{(4j-3)(4j+1)} &= -\operatorname{Tanh} z_j \\ Q_{(4j-3)(4j+2)} &= -z_j \operatorname{Tanh} z_j \\ Q_{(4j-2)(4j-1)} &= -\operatorname{Tanh} z_j \\ Q_{(4j-2)(4j+1)} &= -z_j \operatorname{Tanh} z_j - 1 \\ Q_{(4j-2)(4j+2)} &= -\operatorname{Tanh} z_j - z_j \\ Q_{(4j-1)(4j-1)} &= -\Gamma_j \\ Q_{(4j-1)(4j+1)} &= -\Gamma_j[-2(1-\nu_{j+1}) + z_j \operatorname{Tanh} z_j] \\ Q_{(4j-1)(4j+2)} &= -\Gamma_j[-2(1-\nu_j) + z_j \operatorname{Tanh} z_j] \\ Q_{(4j)(4j-1)} &= \Gamma_j \operatorname{Tanh} z_j \\ Q_{(4j)(4j+1)} &= -\Gamma_j[-1 + 2\nu_{j+1} + z_j \operatorname{Tanh} z_j] \\ Q_{(4j)(4j+2)} &= \Gamma_j[(2\nu_{j+1} - 1) \operatorname{Tanh} z_j + z_j] \\ Q_{(4j+1)(4j-1)} &= 1 \\ Q_{(4j+1)(4j)} &= -z_{j+1} + 1 \\ Q_{(4j+1)(4j+1)} &= \operatorname{Tanh} z_{j+1} Q_{(4j+1)(4j+2)} \\ &= z_{j+1} \operatorname{Tanh} z_{j+1} \\ Q_{(4j+2)(4j-1)} &= \operatorname{Tanh} z_j + 1 \\ Q_{(4j+2)(4j)} &= z_{j+1} \operatorname{Tanh} z_j + 1 \\ Q_{(4j+2)(4j+1)} &= 1 \\ Q_{(4j+2)(4j+2)} &= \operatorname{Tanh} z_{j+1} + z_{j+1} \quad (j=1 \text{ to } n-1) \end{aligned}$$
- (A3)
- $$\begin{aligned} Q_{(4j+3)(4j-1)} &= 1 \\ Q_{(4j+3)(4j-1)} &= 2(1-\nu_{j+1}) \operatorname{Tanh} z_{j+1} + z_{j+1} \\ Q_{(4j+3)(4j+1)} &= \operatorname{Tanh} z_{j+1} \\ Q_{(4j+3)(4j+2)} &= z_{j+1} \operatorname{Tanh} z_{j+1} + 2(1-\nu_{j+1}) \\ Q_{(4j+4)(4j-1)} &= -\operatorname{Tanh} z_{j+1} \\ Q_{(4j+4)(4j)} &= -z_{j+1} \operatorname{Tanh} z_{j+1} + 1 - 2\nu_{j+1} \\ Q_{(4j+4)(4j+1)} &= -1 \\ Q_{(4j+4)(4j+2)} &= \operatorname{Tanh} z_{j+1}(1-2\nu_{j+1}) - z_{j+1} \quad (j=1 \text{ to } n-2) \end{aligned}$$
- 여기서, 명시되지 않은 나머지 항들은 전부 0이
며 $\Gamma_j \equiv \mu_j / \mu_{j+1}^{\infty}$ 고, μ_j 는 각 탄성층의 전단계수이다.